

# Эффекты взаимодействия R- и Fe-мод магнитного резонанса в редкоземельных ферроборатах $RFe_3(BO_3)_4$

А. М. Кузьменко<sup>△</sup>, А. А. Мухин<sup>1)△</sup>, В. Ю. Иванов<sup>△</sup>, А. М. Кадомцева<sup>°</sup>, Л. Н. Безматерных<sup>□</sup>

<sup>△</sup>Институт общей физики им. А. М. Прохорова РАН, 119991 Москва, Россия

<sup>°</sup>Московский государственный университет им. М. В. Ломоносова, 119992 Москва, Россия

<sup>□</sup>Институт физики им. Л. В. Киренского Сибирского отд. РАН, 660036 Красноярск, Россия

Поступила в редакцию 3 июня 2011 г.

В субмиллиметровых спектрах пропускания (0.1–0.6 ТГц) монокристаллов ферроборатов-мультиферроиков  $RFe_3(BO_3)_4$  обнаружены резонансные моды, обусловленные магнитными возбуждениями в обменно связанных подсистемах редкоземельных ионов ( $R = Nd^{3+}, Sm^{3+}, Gd^{3+}$ ) и ионов  $Fe^{3+}$ . Выявлено сильное взаимодействие спиновых колебаний Fe- и R-подсистем, определяющее поведение мод в зависимости от анизотропии обменного расщепления основного дублета R-иона. Показано, что интенсивности связанных мод (вклады в магнитную проницаемость) сильно зависят от разности  $g$ -факторов Fe- и R-ионов, что позволяет определить знак  $g$  последних. В частности, заметная интенсивность обменных (Nd) мод в  $NdFe_3(BO_3)_4$  обусловлена “усилением” их вклада при  $g_{\perp,||}^{Nd} < 0$ , тогда как в  $GdFe_3(BO_3)_4$  с  $g_{Gd} \approx g_{Fe} \approx 2$  происходит компенсация Fe- и Gd-вкладов и обменной (Gd) моды не наблюдается. В  $SmFe_3(BO_3)_4$ , несмотря на слабое взаимодействие Sm-ионов с магнитным полем, обнаружены резонансные моды, связанные с возбуждением ионов Sm через Fe-подсистему.

**1. Введение.** Среди различных магнитоэлектрических материалов, активно исследуемых в последнее время [1–4], значительное внимание привлекают редкоземельные ферробораты  $RFe_3(BO_3)_4$ , проявляющие интересные магнитные, оптические и мультиферроэлектрические свойства, обусловленные обменным взаимодействием между железной и редкоземельной магнитными подсистемами [5–8]. Они имеют нецентросимметричную тригональную структуру (пространственная группа  $R32$  или  $R3_121$ ) [9–11]. Антиферромагнитное упорядочение ионов  $Fe^{3+}$  происходит в них при температуре ниже  $T_N \sim 30–40$  К. Спины железа ориентируются либо вдоль тригональной  $c$ -оси (легкоосная структура), либо в базисной  $ab$ -плоскости (легкоплоскостная структура). В R-подсистеме также индуцируется магнитный порядок за счет R–Fe-обмена, который играет важную роль в стабилизации той или иной магнитной структуры и формировании магнитных и магнитоэлектрических свойств.

Эти особенности взаимодействующих Fe- и R-подсистем должны проявляться не только в статических магнитных и магнитоэлектрических свойствах, но и в высокочастотных магниторезонансных явлениях, которые в ферроборатах начали исследовать сравнительно недавно [12–14]. В частности, в ферроборатах Tb, Pr, Eu обнаружено сильное влия-

ние R-ионов на моды антиферромагнитного резонанса (АФМР) Fe-подсистемы [14] в субмиллиметровом диапазоне. Оно проявлялось в дополнительном вкладе в энергию анизотропии (Eu) и смене ее знака (Pr, Tb), что отчетливо отражалось на поведении частот АФМР. При этом последние оставались существенно меньше характерных частот электронных переходов в этих R-ионах. Однако, согласно оптическим данным, расщепления нижних дублетов многих R-ионов в обменном R–Fe-поле ( $\Delta_{Nd} = 8.8 \text{ см}^{-1}$  [15],  $\Delta_{Sm} = 13.2 \text{ см}^{-1}$  [16]) попадают в субмиллиметровый диапазон частот и имеют частоты переходов, сравнимые с частотами АФМР Fe-подсистемы ( $4–15 \text{ см}^{-1}$ ) [13, 14]. Поэтому магниторезонансные свойства этих ферроборатов должны определяться связанными колебаниями спинов Fe- и R-подсистемы, поиску и изучению которых и посвящена данная работа.

**2. Эксперимент.** Монокристаллы ферроборатов с  $R = Nd, Sm, Gd$ , а также замещенные составы на их основе с  $R = Nd_{0.4}Y_{0.6}, Gd_{0.96}Nd_{0.04}, Gd_{0.75}Nd_{0.25}, Gd_{0.5}Nd_{0.5}$  были выращены методом кристаллизации из расплава на затравках [17]. Образцы были приготовлены в форме плоскопараллельных пластинок  $a$ -среза с поперечными размерами до 1 см и толщиной  $\sim 1$  мм. Измерения поляризационных спектров пропускания  $T(\nu)$  были выполнены с помощью техники квазиоптической ЛОВ-спектроскопии (ЛОВ – лампа обратной волны) [18] в диапазоне частот  $3–20 \text{ см}^{-1}$  при температурах  $3–300$  К. В области анти-

<sup>1)</sup> e-mail: mukhin@ran.gpi.ru

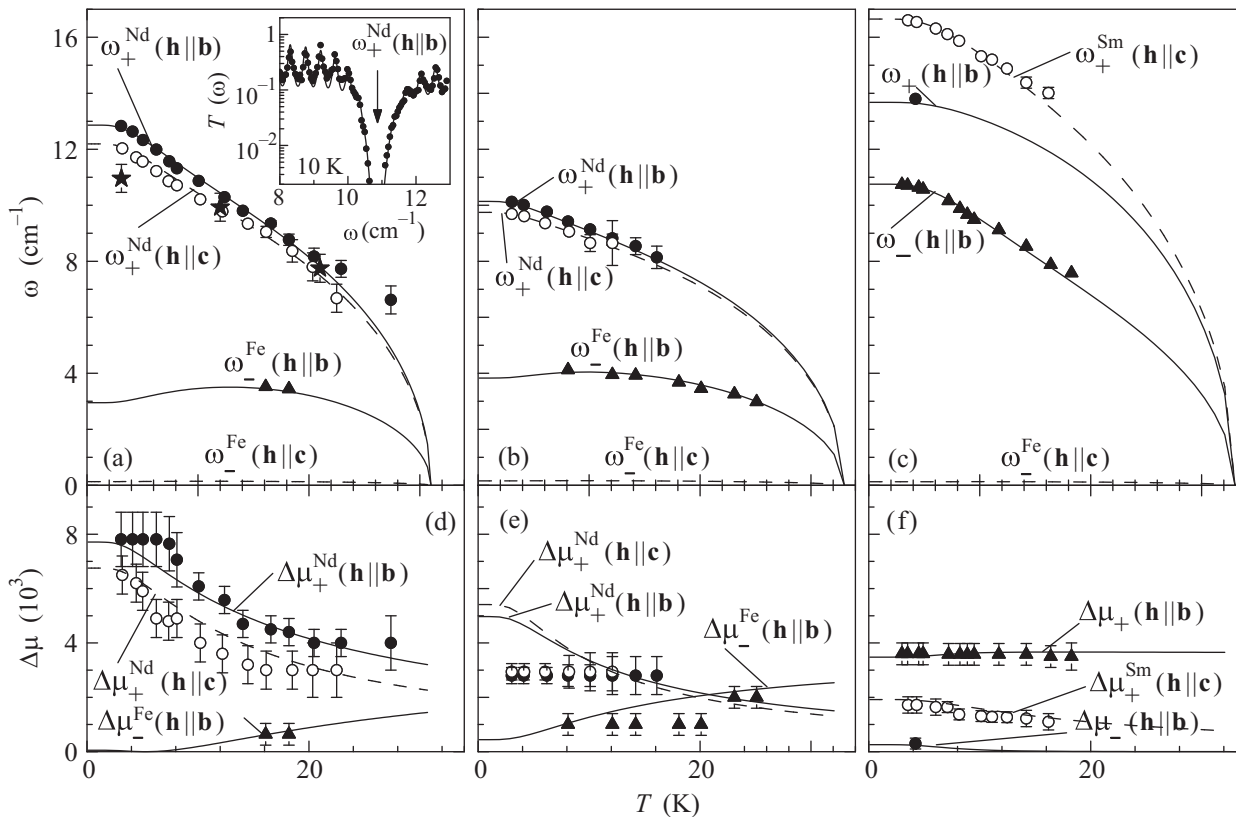


Рис. 1. Температурные зависимости частот (a)–(c) и вкладов в магнитную проницаемость (d)–(f) резонансных мод ( $\mathbf{h}\parallel\mathbf{b}$ ,  $\mathbf{h}\parallel\mathbf{c}$ ) в  $\text{NdFe}_3(\text{BO}_3)_4$  (a), (d),  $\text{Nd}_{0.4}\text{Y}_{0.6}\text{Fe}_3(\text{BO}_3)_4$  (b), (e) и  $\text{SmFe}_3(\text{BO}_3)_4$  (c), (f). Кружки и треугольники – значения, полученные из субмиллиметровых спектров пропускания, звездочки – значения, полученные в работе [10] из спектров рамановского рассеяния, линии – теория. На вставке приведен пример спектра пропускания вблизи моды  $\omega_-^{\text{Nd}}(\mathbf{h}\parallel\mathbf{b})$ , где точки – эксперимент, а линии – моделирование

ферромагнитного упорядочения ( $T < T_N = 35\text{--}40\text{ K}$ ) в спектрах обнаружены резонансные линии (вставка к рис. 1a). Они наблюдались при поляризациях магнитного поля  $\mathbf{h}\parallel\mathbf{b}$  и  $\mathbf{h}\parallel\mathbf{c}$  и были идентифицированы как магнитные возбуждения в Fe- и R-подсистемах (см. ниже). Спектры моделировались с помощью формул Френеля для плоскопараллельного слоя с учетом дисперсии магнитной проницаемости  $\mu(\omega) = 1 + \sum_k \Delta\mu_k \omega_k^2 / (\omega_k^2 - \omega^2 + i\omega\Delta\omega_k)$ , где  $\omega_k$ ,  $\Delta\omega_k$  и  $\Delta\mu_k$  – частота, ширина линии и вклад  $k$ -й моды в проницаемость соответственно.

Во всех исследованных составах ниже точки Нееля реализуется легкоплоскостная антиферромагнитная структура. Для  $\text{NdFe}_3(\text{BO}_3)_4$  резонансные линии наблюдаются как при поляризации  $\mathbf{h}\parallel\mathbf{b}$ , так и при  $\mathbf{h}\parallel\mathbf{c}$  (рис. 1a). Это качественно отличается от легкоплоскостных  $\text{YFe}_3(\text{BO}_3)_4$ ,  $\text{EuFe}_3(\text{BO}_3)_4$  [14], где наблюдалась только высокочастотная мода АФМР ионов железа при  $\mathbf{h}\parallel\mathbf{b}$  на частотах 4–6  $\text{см}^{-1}$ . Появление в  $\text{NdFe}_3(\text{BO}_3)_4$  двух резонансных линий на частотах  $\sim 12\text{ см}^{-1}$  при двух разных

поляризациях связано, по-видимому, с возбуждениями электронных переходов внутри основного кримерсовского дублета иона  $\text{Nd}^{3+}$ , расщепленного обменным Nd–Fe-взаимодействием. Однако наблюдаемые частоты заметно превосходят обменное расщепление  $\sim 8.8\text{ см}^{-1}$ , полученное из оптических данных [15]. Кроме того, на частоте  $\sim 3.5\text{ см}^{-1}$  обнаружены признаки слабой линии при  $\mathbf{h}\parallel\mathbf{b}$ , которая может быть идентифицирована как высокочастотная мода АФМР в Fe-подсистеме. Вклад в магнитную проницаемость этой моды значительно меньше наблюдаемого в  $\text{YFe}_3(\text{BO}_3)_4$  и  $\text{EuFe}_3(\text{BO}_3)_4$  [14]. Поведение резонансных частот (расталкивание), наряду с перераспределением вкладов (интенсивностей) мод, указывает на сильную связь спиновых колебаний Fe- и Nd-подсистем.

Подтверждением такого характера спиновых возбуждений являются результаты, полученные при разбавлении Nd немагнитным Y в  $\text{Nd}_{0.4}\text{Y}_{0.6}\text{Fe}_3(\text{BO}_3)_4$  (рис. 1b). Видно, что при уменьшении концентрации Nd частоты высокочастотных

(Nd) мод при обеих поляризациях уменьшаются и становятся ближе к статическому обменному расщеплению основного дублета  $\text{Nd}^{3+}$ , а частота АФМР-моды приближается к значению для иттриевого ферробората. Это свидетельствует об уменьшении взаимодействия АФМР- и R-мод при разбавлении. Отметим, что такое разделение мод на редкоземельные и АФМР является весьма условным, поскольку здесь реализуются связанные колебания Fe- и R-спинов, которые будут подробно рассмотрены ниже.

Особенностью  $\text{SmFe}_3(\text{BO}_3)_4$  является то, что ион  $\text{Sm}^{3+}$  обладает очень маленьким фактором Ланде и дает незначительный вклад в статические магнитные свойства [8], которые оказались сходными с  $\text{YFe}_3(\text{BO}_3)_4$ . Тем не менее в субмиллиметровых свойствах роль ионов  $\text{Sm}^{3+}$  проявилась очень сильно. Резонансные моды обнаружены при обеих поляризациях (рис. 1с). При  $\mathbf{h} \parallel \mathbf{c}$ , когда обычно возбуждается низкочастотная мода АФМР, лежащая значительно ниже нашего диапазона, мы обнаружили отчетливую моду с частотой  $\sim 16.6 \text{ см}^{-1}$  при низких  $T$ . Она может быть связана с электронными переходами внутри кramerсовского дублета  $\text{Sm}^{3+}$ . Тот факт, что ее частота превышает величину обменного расщепления дублета  $\Delta_{\text{Sm}} = 13.2 \text{ см}^{-1}$  [16], обусловлен, по-видимому, взаимодействием (расталкиванием) с низколежащей АФМР-модой. Необычным является то, что Sm-мода имеет заметную интенсивность, несмотря на слабое взаимодействие ионов  $\text{Sm}^{3+}$  с магнитным полем (см. вклад  $\Delta\mu_+$  ( $\mathbf{h} \parallel \mathbf{c}$ ) на рис. 1f). Это может быть связано с возбуждением электронных переходов в  $\text{Sm}^{3+}$  через Fe-подсистему за счет их обменного взаимодействия (см. ниже). При другой поляризации,  $\mathbf{h} \parallel \mathbf{b}$ , наблюдались две моды, одна из которых (с меньшей частотой) отчетливо проявлялась в широком интервале температур, а другая имела гораздо меньшую интенсивность и проявилась только при низкой температуре. По-видимому, возникновение этих мод обусловлено связанными колебаниями спинов  $\text{Fe}^{3+}$  и  $\text{Sm}^{3+}$ . Отметим, что для этих мод расталкивание частот проявляется незначительно.

Другими ферроборатами, в которых резонансные свойства проявились неожиданным образом, оказались  $\text{GdFe}_3(\text{BO}_3)_4$  и ряд замещенных составов на его основе. В чистом  $\text{GdFe}_3(\text{BO}_3)_4$  реализуется спонтанный спин-переориентационный переход из легкоплоскостного в одноосное состояние при  $T_R \sim 9 \text{ К}$  [19] за счет конкуренции вкладов Fe- и Gd-подсистем в энергию анизотропии. Согласно [13] высокочастотная мода АФМР Fe-подсистемы не превышает в нем  $1 \text{ см}^{-1}$  (30 ГГц) и смягчается вблизи  $T_R$ . Что

касается Gd-подсистемы, то, согласно оценке Gd-Fe-обменного поля ( $\sim 70 \text{ кЭ}$ ) на основе статических свойств [20], ее характерные частоты (расщепления уровней  $\sim 6.5 \text{ см}^{-1}$ ) должны лежать существенно выше и попадать в наш диапазон. Мы предприняли попытку обнаружить Gd-моды в субмиллиметровом диапазоне в  $\text{GdFe}_3(\text{BO}_3)_4$ . Однако никаких резонансных возбуждений найдено не было. В то же время для замещенного состава  $\text{Gd}_{0.5}\text{Nd}_{0.5}\text{Fe}_3(\text{BO}_3)_4$  Gd-моды отчетливо проявились наряду с Nd-модами при обеих поляризациях, причем на частотах, значительно превышающих статическое расщепление уровней ионов  $\text{Gd}^{3+}$  (рис. 2b).

**3. Теория и обсуждение результатов.** При описании наблюдаемых магниторезонансных свойств ферроборатов будем исходить из неравновесного термодинамического потенциала системы  $\Phi = \Phi_{\text{Fe}} + \Phi_{\text{R}}$ . Термодинамический потенциал Fe-подсистемы в двухподрешеточном приближении представим в виде [20, 21]

$$\Phi_{\text{Fe}}(\mathbf{M}, \mathbf{L}) = \Phi_0(\mathbf{L}) + \frac{1}{2}A\mathbf{M}^2 - M_0\mathbf{M}\mathbf{H} + \frac{1}{2}K_{A2}L_z^2 - \frac{1}{12}K_{A6}[(L_x + iL_y)^6 + (L_x - iL_y)^6], \quad (1)$$

где  $\mathbf{M}$ ,  $\mathbf{L}$  – безразмерные векторы ферро- и антиферромагнетизма соответственно,  $A = 2H_E M_0 = M_0^2/\chi_{\perp}$  – константа изотропного Fe-Fe-обмена,  $H_E$  – соответствующее обменное поле,  $\chi_{\perp}$  – поперечная магнитная восприимчивость железа,  $K_{A2} > 0$  – константа анизотропии, стабилизирующая легкоплоскостное антиферромагнитное состояние,  $K_{A6}$  – константа анизотропии в базисной  $ab$ -плоскости ( $|K_{A6}| \ll K_{A2}$ ),  $M_0 \approx 3g_{\text{Fe}}S_{\text{Fe}}\mu_B N$  – магнитный момент насыщения Fe-подсистемы,  $\Phi_0(\mathbf{L})$  – обменная часть термодинамического потенциала, определяющая величину  $\mathbf{L}$ .

Будем описывать R-подсистему в одnodублетном приближении с помощью эффективного спин-гамильтониана [22]

$$H_{\text{R}}^{(1,2)} = -\hat{\sigma}_{1,2}\mathbf{h}_{\text{eff}1,2} \equiv -\hat{\sigma}_{1,2}(\hat{\mu}\mathbf{H} + \hat{a}\mathbf{M} \pm \hat{b}\mathbf{L}), \quad (2)$$

где  $\hat{\sigma}_{1,2}$  – матрицы Паули основного дублета для R-ионов в подрешетках 1 и 2,  $\mathbf{h}_{\text{eff}1,2}$  – соответствующее эффективное поле [6, 20, 21], в котором магнитный момент  $\hat{\mu} = \frac{1}{2}\hat{g}\mu_B$  определяется  $g$ -тензором дублета ( $g_{xx} = g_{yy} \equiv g_{\perp}$ ,  $g_{zz} \equiv g_{\parallel}$ ),  $\hat{a}$  и  $\hat{b}$  – диагональные матрицы R-Fe-обменов ( $a_{xx} = a_{yy} \equiv a_{\perp}$ ,  $a_{zz} \equiv a_{\parallel}$ ;  $b_{xx} = b_{yy} \equiv b_{\perp}$ ,  $b_{zz} \equiv b_{\parallel}$ ). В приближении ближайших соседей  $\hat{a} = \hat{b}$ . В качестве динамических переменных R-подсистемы будем рассматривать средние значения матриц Паули,  $\sigma_{1,2} \equiv \langle \hat{\sigma}_{1,2} \rangle$ , или их линейные

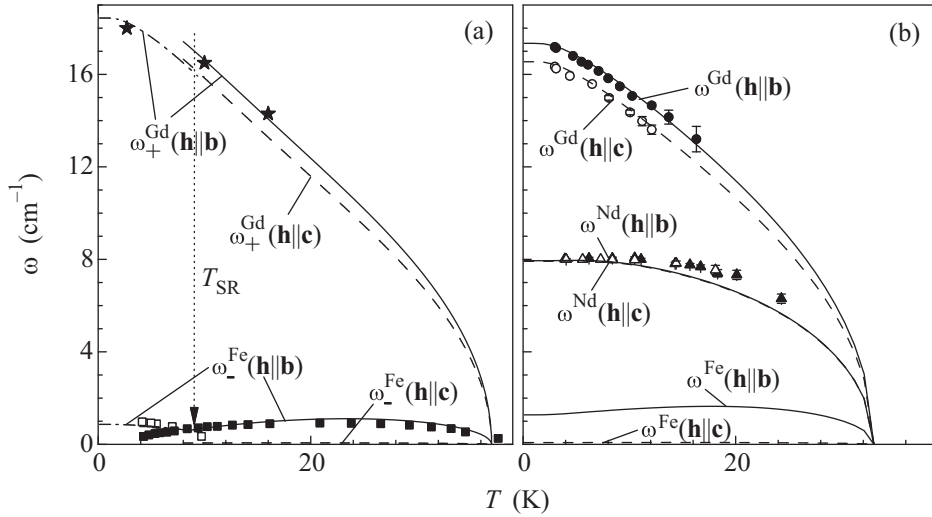


Рис. 2. Температурные зависимости резонансных частот в ферроборате  $\text{GdFe}_3(\text{BO}_3)_4$  (a) и  $\text{Gd}_{0.5}\text{Nd}_{0.5}\text{Fe}_3(\text{BO}_3)_4$  (b). Символы – эксперимент, линии – теория (звездочки (a) – данные по рамановскому рассеянию [10], квадраты (a) – данные по АФМР [12,13], кружки и треугольники (b) – данная работа). Стрелкой указана температура спиновой переориентации  $T_{\text{SR}}$

комбинации,  $\mathbf{m} = (\boldsymbol{\sigma}_1 + \boldsymbol{\sigma}_2)/2$ ,  $\mathbf{l} = (\boldsymbol{\sigma}_1 - \boldsymbol{\sigma}_2)/2$ . Редкоземельную часть термодинамического потенциала, обусловленную основным дублетом, представим в виде (приближение молекулярного поля) [22]

$$\Phi_{\text{R}} = N[-\mathbf{m}(\hat{\mu}\mathbf{H} + \hat{a}\mathbf{M}) - \hat{b}\mathbf{L} - \frac{1}{2}k_{\text{B}}T \sum_{i=1,2} S(\sigma_i)], \quad (3)$$

где  $S(\sigma) = \ln 2 - \frac{1}{2}(1 + \sigma) \ln(1 + \sigma) - \frac{1}{2}(1 - \sigma) \ln(1 - \sigma)$  – энтропия двухуровневой системы,  $N$  – число R-ионов. Вклад возбужденных состояний R-иона можно учесть путем перенормировки  $\Phi_{\text{Fe}}$ . Равновесное состояние системы определяется из условия минимума  $\Phi$ . При  $\mathbf{H} = 0$ , когда  $\mathbf{M} = \mathbf{m} = 0$ , равновесное значение  $\mathbf{l} = (\mathbf{L}/L) \text{th}(|\hat{b}\mathbf{L}|/k_{\text{B}}T)$  однозначно связано с  $\mathbf{L}$ . Динамику Fe- и R-подсистем будем описывать на основе уравнений Ландау–Лифшица [23]:

$$\begin{aligned} (M_0/\gamma_{\text{Fe}})\dot{\mathbf{M}} &= [\mathbf{M}\Phi_{\mathbf{M}}] + [\mathbf{L}\Phi_{\mathbf{L}}], \\ (M_0/\gamma_{\text{Fe}})\dot{\mathbf{L}} &= [\mathbf{M}\Phi_{\mathbf{L}}] + [\mathbf{L}\Phi_{\mathbf{M}}], \\ (m_0/\gamma)\dot{\mathbf{m}} &= [\mathbf{m}\Phi_{\mathbf{m}}] + [\mathbf{l}\Phi_{\mathbf{l}}], \\ (m_0/\gamma)\dot{\mathbf{l}} &= [\mathbf{m}\Phi_{\mathbf{l}}] + [\mathbf{l}\Phi_{\mathbf{m}}], \end{aligned} \quad (4)$$

где  $\Phi_{\mathbf{M}} = \partial\Phi/\partial\mathbf{M}$ , и т.д.,  $m_0 = \mu_{\text{B}}N$ ,  $\gamma_{\text{Fe}} = g_{\text{Fe}}\mu_{\text{B}}/\hbar$ ,  $\gamma = 2\mu_{\text{B}}/\hbar$ . Рассмотрим спиновые колебания системы в легкоплоскостном состоянии  $\mathbf{L} \perp \mathbf{c}$ , полагая для определенности  $\mathbf{L} = (L_x, 0, 0)$ ,  $\mathbf{l} = (l_x, 0, 0)$ , стабилизируем при  $K_{A6} > 0$ . Линеаризованные уравнения движения разделяются на две группы, соответствующие модам разной симметрии: I ( $\Delta M_z$ ,  $\Delta m_z$ ,

$\Delta L_y$ ,  $\Delta l_y$ ) и II ( $\Delta M_y$ ,  $\Delta m_y$ ,  $\Delta L_z$ ,  $\Delta l_z$ ), возбуждаемым переменным магнитным полем  $\mathbf{h}||\mathbf{c}$  ( $z$ ) и  $\mathbf{h}||\mathbf{b}$  ( $y$ ) соответственно. Для каждой симметрии колебаний имеются по две резонансные моды, частоты которых можно представить в виде .

$$\omega_{\pm}^2(\text{I, II}) = \frac{1}{2}B_{\text{I,II}} \pm \frac{1}{2}\sqrt{B_{\text{I,II}}^2 - 4C_{\text{I,II}}}, \quad (5)$$

где  $B_{\text{I,II}} = (\omega_{A6, A2} + \omega_{\text{R}}\eta)(\omega_{\text{E}} + \omega_{\text{R}}\eta) + 2\omega_{\text{R}}\omega_{\text{R}||}\eta + \omega_{\text{R}}^2$ ,  $C_{\text{I,II}} = \omega_{\text{R}}\omega_{A6, A2}[\omega_{\text{E}, A2}\omega_{\text{R}} + \eta(\omega_{\text{R}}^2 - \omega_{\text{R}||}^2)]$ ,  $\omega_{\text{E}} = \gamma_{\text{Fe}}(A + K_{A6}L_x^4)L_x/M_0$ ,  $\omega_{A2} = \gamma_{\text{Fe}}(K_{A2} + K_{A6}L_x^4)L_x/M_0$ ,  $\omega_{A6} = 6\gamma_{\text{Fe}}L_x^5K_{A6}/M_0$ ,  $\omega_{\text{R}, \text{R}||} = \gamma L_x b_{\perp, ||}/\mu_{\text{B}} = 2L_x b_{\perp, ||}/\hbar$ ,  $\eta = \gamma_{\text{Fe}}m_0 l_x/\gamma M_0 L_x$ ,  $l_x = \text{th}(L_x b_{\perp}/k_{\text{B}}T)$ . Каждая пара частот  $\omega_{\pm}$  представляет собой моды связанных спиновых колебаний Fe- и R-ионов, которые при разбавлении R-подсистемы превращаются, соответственно, в собственные моды АФМР Fe-подсистемы  $\sqrt{\omega_{A2, A6}\omega_{\text{E}}}$  и R-моды, определяемые расщеплением дублета статическим обменным полем,  $\omega_{\text{R}} = 2L_x b_{\perp}/\hbar$ . При этом вклады резонансных мод I и II в соответствующие компоненты высокочастотной магнитной проницаемости равны:

$$\Delta\mu_{\pm}(\text{I, II}) = \Delta\mu^{\text{Fe}} f_{\pm}^{\text{Fe}}(\text{I, II}) + \Delta\mu_{\perp, \parallel}^{\text{R}} f_{\pm}^{\text{R}}(\text{I, II}), \quad (6)$$

где

$$\begin{aligned} f_{\pm}^{\text{Fe}}(\text{I}) &= \{\pm\omega_{A6}\omega_{\text{E}} \mp \alpha\omega_{\mp}^2[(1 + \tilde{g}_{||}\eta)^2 + \\ &\quad + 2\eta\tilde{g}_{||}(\omega_{\text{R}||}/\omega_{\text{R}} - 1)]\}/(\omega_{\pm}^2 - \omega_{\mp}^2), \\ f_{\pm}^{\text{R}}(\text{I}) &= [\pm(1 - \tilde{g}_{||}^{-1})^2\omega_{\text{R}}^2 \mp \alpha\omega_{\mp}^2]/(\omega_{\pm}^2 - \omega_{\mp}^2), \\ \alpha &= 1/[1 + \eta(\omega_{\text{R}}^2 - \omega_{\text{R}||}^2)/\omega_{\text{E}}\omega_{\text{R}}] \approx 1 \end{aligned}$$

для мод I ( $\mathbf{h}||\mathbf{c}$ ) и

$$f_{\pm}^{\text{Fe}}(\text{II}) = [\pm\omega_{A2}\omega_E \mp (1 + \tilde{g}_{\perp}\eta)^2\omega_{\mp}^2]/(\omega_{+}^2 - \omega_{-}^2),$$

$$f_{\pm}^{\text{R}}(\text{II}) = [\mp\omega_{\mp}^2 \pm (1 - \tilde{g}_{\perp}^{-1})^2\omega_{\text{R}}^2 \pm \pm 2\tilde{g}_{\perp}^{-1}\omega_{\text{R}}(\omega_{\text{R}} - \omega_{\text{R}||})]/(\omega_{+}^2 - \omega_{-}^2)$$

для мод II ( $\mathbf{h}||\mathbf{b}$ ), а

$$\Delta\mu^{\text{Fe}} \equiv 4\pi\chi_{\perp} = 4\pi\gamma_{\text{Fe}}M_0L_x/\omega_E,$$

$$\Delta\mu_{\parallel,\perp}^{\text{R}} \equiv 4\pi\chi_{\parallel,\perp}^{\text{R}} = 4\pi\gamma m_0 l_x g_{\parallel,\perp}^2/4\omega_{\text{R}},$$

$$\tilde{g}_{\parallel,\perp} = \gamma g_{\parallel,\perp}/2\gamma_{\text{Fe}} = g_{\parallel,\perp}/g_{\text{Fe}}.$$

В проведенном анализе мы не учитывали магнито-электрические взаимодействия, которые определяют также и возбуждение мод в электрическом поле [14], поскольку их вклад в диэлектрическую (магнитоэлектрическую) восприимчивость оказался малым для мод, наблюдаемых в исследованном диапазоне. Используя формулы (5) и (6), мы провели анализ и численное моделирование наблюдаемых резонансных мод (см. линии на рис. 1, 2). Рассмотрим подробнее конкретные ферробораты.

**Ферроборат  $\text{NdFe}_3(\text{BO}_3)_4$ .** Как видно из рис. 1а, моды одной и той же симметрии заметно различаются по частоте, что позволяет приближенно ( $B^2 \ll 4C$ ) представить их частоты и вклады в виде:

моды I ( $\mathbf{h}||\mathbf{c}$ )

$$\omega_{+}^2 \equiv (\omega_{+}^{\text{Nd}})^2 \approx \omega_{\text{R}}^2 + \omega_E\omega_{\text{R}}\eta + 2\omega_{\text{R}}\omega_{\text{R}||}\eta, \quad (7a)$$

$$\omega_{-}^2 \equiv (\omega_{-}^{\text{Fe}})^2 \approx \omega_E\omega_{A6}\omega_{\text{R}}^2/\omega_{+}^2,$$

$$\Delta\mu_{+} \equiv \Delta\mu_{+}^{\text{Nd}} \approx \Delta\mu_{\parallel}^{\text{R}}(1 - \tilde{g}_{\parallel}^{-1})^2\omega_{\text{R}}^2/\omega_{+}^2,$$

$$\Delta\mu_{-} \equiv \Delta\mu_{-}^{\text{Fe}} \approx \Delta\mu^{\text{Fe}}(1 + \eta\tilde{g}_{\parallel})^2 + \Delta\mu_{\perp}^{\text{R}} - \Delta\mu_{+}, \quad (7b)$$

и моды II ( $\mathbf{h}||\mathbf{b}$ )

$$\omega_{+}^2 \equiv (\omega_{+}^{\text{Nd}})^2 \approx \omega_{\text{R}}^2 + \omega_E\omega_{A2} + \omega_E\omega_{\text{R}}\eta + 2\omega_{\text{R}}\omega_{\text{R}||}\eta,$$

$$\omega_{-}^2 \equiv (\omega_{-}^{\text{Fe}})^2 \approx \omega_E[\omega_{A2} - \eta(\omega_{\text{R}||}^2 - \omega_{\text{R}}^2)/\omega_{\text{R}}]\omega_{\text{R}}^2/\omega_{+}^2, \quad (8a)$$

$$\Delta\mu_{+}^{\text{Nd}} \equiv \frac{1}{2}\Delta\mu_{+} \approx \approx \frac{1}{2}\Delta\mu_{\perp}^{\text{R}}(1 - \tilde{g}_{\perp}^{-1})^2\omega_{\text{R}}^2/\omega_{+}^2 + \frac{1}{2}\Delta\mu^{\text{Fe}}\omega_{A2}\omega_E/\omega_{+}^2,$$

$$\Delta\mu_{-}^{\text{Fe}} \equiv \frac{1}{2}\Delta\mu_{-} \approx \frac{1}{2}\Delta\mu^{\text{Fe}}(1 + \eta\tilde{g}_{\perp})^2 + \frac{1}{2}\Delta\mu_{\perp}^{\text{R}} - \frac{1}{2}\Delta\mu_{+}. \quad (8b)$$

Поскольку в реальном кристалле спины ионов  $\text{Fe}^{3+}$  ориентированы при  $H = 0$  по всем легким направлениям в базисной плоскости, вклады (8б) нужно усреднить, умножив на  $\frac{1}{2}$ . Вышележащие моды  $\omega_{+}$  можно рассматривать как R-моды, частоты которых, однако, заметно превышают статическое расщепление

дублета  $\omega_{\text{R}}$  из-за взаимодействия с нижележащими модами. В свою очередь, моды  $\omega_{-}$  можно интерпретировать как моды АФМР, перенормированные взаимодействием с вышележащими R-модами за счет множителя  $(\omega_{\text{R}}/\omega_{+})^2$  в (7а) и (8а), что определяет их заметное смягчение. Кроме того, для моды II  $\omega_{-}^{\text{Fe}}$ , связанной с выходом вектора  $\mathbf{L}$  из базисной плоскости, происходит также перенормировка константы анизотропии,  $\omega_{A2} \rightarrow \omega_{A2} - \eta(\omega_{\text{R}||}^2 - \omega_{\text{R}}^2)/\omega_{\text{R}}$ , за счет анизотропии R-Fe-обмена ( $\omega_{\text{R}||} \neq \omega_{\text{R}}$ ), что может быть причиной спиновой переориентации в ферроборатах. Вклады обеих R-мод растут с понижением  $T$  пропорционально разности заселенностей уровней дублета, определяемой  $l_x(T)$ . Вклад же моды  $\omega_{-}^{\text{Fe}}(\mathbf{h}||\mathbf{b})$ , наоборот, падает, что хорошо согласуется с экспериментом (рис. 1д). Моделирование температурных зависимостей частот и вкладов в приближении молекулярного поля дает неплохое согласие с экспериментом при  $\omega_E \approx 107 \text{ см}^{-1}$ ,  $\omega_{A2} \approx 0.24 \text{ см}^{-1}$ ,  $\omega_{\text{R}} \approx 8.7 \text{ см}^{-1}$ ,  $\omega_{\text{R}||} \approx 9.13 \text{ см}^{-1}$ ,  $g_{\parallel} \approx -0.9$ ,  $g_{\perp} \approx -2.4$ , что целом соответствует оптическим и магнитным данным для  $\text{NdFe}_3(\text{BO}_3)_4$  [15, 24] и параметрам Fe-подсистемы ( $\omega_{A2}, \omega_E$ ) [14]. Величина  $\omega_{A6} \approx 3 \cdot 10^{-4} \text{ см}^{-1}$ , определяющая низкочастотную моду АФМР и слабо влияющая на высокочастотные моды, бралась из данных для  $\text{YFe}_3(\text{BO}_3)_4$  [13]. Отметим, что согласно (7б) и (8б) величины вкладов ( $\mathbf{h}||\mathbf{c}$  и  $\mathbf{h}||\mathbf{b}$ ) вышележащих мод зависят не только от абсолютных значений компонент магнитного момента дублета  $\mu_{\perp,||}$  (или  $g$ -фактора  $g_{\perp,||}$ ), но и от их знака. Точнее, здесь проявляется чувствительность вкладов к соотношению  $g$ -факторов для  $\text{Nd}^{3+}$ -дублета ( $g_{\perp,||}$ ) и ионов  $\text{Fe}^{3+}$  ( $g_{\text{Fe}} \approx 2$ ) из-за смешанного характера соответствующих спиновых колебаний. Полученные отрицательные знаки компонент  $g$ -тензора  $g_{\perp,||}$  основного дублета  $\text{Nd}^{3+}$ , позволившие описать наблюдаемые вклады мод, отражают это обстоятельство и указывают на возможность определения абсолютных значений  $g$ -тензора. Теоретические аспекты этого вопроса и методы определения абсолютных значений  $g$ -тензора обсуждались недавно в работе [25].

Разбавление Nd-подсистемы в  $\text{Nd}_{0.4}\text{Y}_{0.6}\text{Fe}_3(\text{BO}_3)_4$  приводит к заметному уменьшению разницы между частотами Nd- и Fe-мод. Эта система хорошо описывается теорией (рис. 1б) с параметрами, близкими к чистому  $\text{NdFe}_3(\text{BO}_3)_4$ :  $\omega_E \approx 110 \text{ см}^{-1}$ ,  $\omega_{A2} \approx 0.20 \text{ см}^{-1}$ ,  $\omega_{\text{R}} \approx 8.2 \text{ см}^{-1}$ ,  $\omega_{\text{R}||} \approx 8.2 \text{ см}^{-1}$ ,  $g_{\parallel} \approx -1.4$ ,  $g_{\perp} \approx -2.3$ . Их, однако, следует рассматривать как эффективные, так как данный состав находится в структурной фазе P3121 и локальная кристаллическая симметрия R- и Fe-ионов в  $\text{Nd}_{0.4}\text{Y}_{0.6}\text{Fe}_3(\text{BO}_3)_4$  является более низкой.

В  $\text{SmFe}_3(\text{BO}_3)_4$  (рис. 1с) поведение частоты и вклада моды, наблюдаемой в поляризации  $\mathbf{h}||\mathbf{c}$ , аналогично ферроборату неодима и определяется (7а, б). Поскольку фактор Ланде иона  $\text{Sm}^{3+}$  мал ( $g_J = 2/7$ ) и практически не дает вклада в намагниченность [8], наблюдение достаточно интенсивной Sm-моды  $\omega_+^{\text{Sm}}$ , очевидно, обусловлено ее возбуждением через Fe-подсистему,  $\Delta\mu_+^{\text{Sm}} \approx (4\pi N\mu_B^2 l_x/b_\perp)(\omega_R^2/\omega_+^2)$ . Для мод в поляризации  $\mathbf{h}||\mathbf{b}$  картина заметно отличается: частота моды  $\omega_-$  не уменьшается, как в  $\text{NdFe}_3(\text{BO}_3)_4$ , а возрастает, заметно превышая собственную частоту АФМР Fe-подсистемы  $\sqrt{\omega_{A2}\omega_E}$ . При этом данная мода имеет значительный вклад в магнитную проницаемость  $\Delta\mu^-$  по сравнению с высокочастотной модой  $\omega_+$ . Такое поведение обусловлено сильной анизотропией обменного расщепления основного состояния,  $\omega_R \gg \omega_{R||}$ . Из-за близости резонансных частот  $\omega_\pm$  вместо (8а) нужно использовать исходное выражение (5), а вклады мод II ( $\mathbf{h}||\mathbf{b}$ ) с учетом  $\omega_R \gg \omega_{R||}$  и  $g_{||,\perp} \ll 2$  можно оценить как  $\Delta\mu_\pm \approx \Delta\mu_\pm^{\text{Fe}}(\tilde{\omega}_{A2}\omega_E/\omega_\pm^2)|\omega_\pm^2 - \omega_R^2|/(\omega_+^2 - \omega_-^2)$ . Отсюда видно, что малая величина  $\Delta\mu_+$  для высокочастотной моды  $\omega_+$  обусловлена близостью ее к  $\omega_R$ . Количественное описание частот и вкладов для  $\text{SmFe}_3(\text{BO}_3)_4$  (рис. 1с, f) получено при  $\omega_E \approx 114 \text{ см}^{-1}$ ,  $\omega_{A2} \approx 0.22 \text{ см}^{-1}$ ,  $\omega_R \approx 13.2 \text{ см}^{-1}$ ,  $\omega_{R||} \approx 1.3 \text{ см}^{-1}$ ,  $g_{||} \approx 0.3$ ,  $g_\perp \approx 0.3$ .

Для анализа резонансных мод в  $\text{GdFe}_3(\text{BO}_3)_4$  применялся такой же подход, но с учетом того факта, что основным состоянием изотропного иона  $\text{Gd}^{3+}$  является мультиплет  ${}^8S_{7/2}$  с  $S_{Gd} = 7/2$ . В качестве параметров порядка использовались векторы  $\mathbf{m}_{Gd} = (\langle \mathbf{S}_1 \rangle + \langle \mathbf{S}_2 \rangle)/(2S_{Gd})$  и  $\mathbf{l}_{Gd} = (\langle \mathbf{S}_1 \rangle - \langle \mathbf{S}_2 \rangle)/2(S_{Gd})$ , где  $\langle \mathbf{S}_{1,2} \rangle$  – средние значения спинов в двух Gd-подрешетках. В равновесном состоянии при отсутствии внешнего магнитного поля  $\mathbf{m}_{Gd} = 0$ , а  $\mathbf{l}_{Gd} = (l_x, 0, 0)$ , где  $l_x = B_S(l_x b_\perp/k_B T)$  определяется эффективным полем Fe-подсистемы в состоянии  $\mathbf{L} = (L_x, 0, 0)$ ,  $B_S$  – функция Бриллюэна для  $S = 7/2$ . Уравнения движения для  $\mathbf{m}_{Gd}$ ,  $\mathbf{l}_{Gd}$  аналогичны (4б), где нужно заменить  $m_0 = S_{Gd}g_{Gd}\mu_B N$ ,  $\gamma \rightarrow \gamma_{Gd} = g_{Gd}\mu_B/\hbar$  и  $g_{\perp,||} \rightarrow g_{Gd} \approx 2$ . Частоты и вклады в этом случае также определяются выражениями (5), (6). Учитывая, что  $\gamma_{Gd} \approx \gamma_{Fe}$  ( $g_{Gd} \approx g_{Fe}$ ), получаем фактически обнуление (компенсацию) вкладов высокочастотной (Gd) моды  $\omega_+$  для обеих поляризаций,  $\Delta\mu_+ \approx \Delta\mu_\pm^{\text{Fe}}(1 - \gamma_{Fe}/\gamma_{Gd})^2\omega_R^2/\omega_+^2$ , что объясняет их отсутствие в спектрах пропускания  $\text{GdFe}_3(\text{BO}_3)_4$ .<sup>2)</sup>

Аналогичная ситуация имеет место и в одноосном состоянии при  $T < T_R$ . Слабые Gd-моды наблюдались, однако, в рамановских спектрах  $\text{GdFe}_3(\text{BO}_3)_4$  [10] на частотах  $\sim 18 \text{ см}^{-1}$ . Используя эти результаты, а также данные [13] для низкочастотной моды АФМР ( $\mathbf{h}||\mathbf{b}$ ), лежащей ниже доступного нам диапазона, мы провели моделирование температурных зависимостей частот всех мод как в легкоплоскостном, так и в одноосном состояниях. Они приведены на рис. 2а и в целом хорошо описывают эксперимент при  $\omega_E \approx 124 \text{ см}^{-1}$ ,  $\omega_{A2} \approx 0.21 \text{ см}^{-1}$ ,  $\omega_R \approx 5.0 \text{ см}^{-1}$ ,  $\omega_{R||} \approx 5.2 \text{ см}^{-1}$ ,  $\omega_{R||} - \omega_R \approx 0.23 \text{ см}^{-1}$ .

Как отмечалось выше, выявить Gd-моды в спектрах пропускания удалось в смешанных составах, содержащих, кроме Gd, анизотропные ионы Nd, на примере системы  $\text{Gd}_{0.5}\text{Nd}_{0.5}\text{Fe}_3(\text{BO}_3)_4$  (рис. 2б). Причиной этого, как показали анализ и моделирование системы с двумя типами R-ионов (изотропным  $\text{Gd}^{3+}$  и анизотропным  $\text{Nd}^{3+}$ ) в рамках вышеизложенного подхода, является нарушение компенсации вклада в  $\mu(\omega)$  высокочастотной (Gd) моды, имеющей место для Gd- и Fe-подсистем с  $g_{Gd} \approx g_{Fe}$ . Полученные параметры равны  $\omega_E \approx 113 \text{ см}^{-1}$ ,  $\omega_{A2} \approx 0.25 \text{ см}^{-1}$ ,  $\omega_{Gd} \approx 6.4 \text{ см}^{-1}$ ,  $\omega_{Gd||} \approx 6.7 \text{ см}^{-1}$ ,  $\omega_{Nd} \approx \omega_{Nd||} \approx 8.2 \text{ см}^{-1}$ ,  $g_{||} \approx -2.4$ ,  $g_\perp \approx -0.9$ . Найденное расщепление уровней  $\text{Gd}^{3+}$  ( $\sim 6.4 \text{ см}^{-1}$ ), соответствующее обменному полю  $\sim 69 \text{ кЭ}$  и совпадающее с данными [20], заметно меньше частоты Gd-мод из-за взаимодействия мод.

Мы исследовали также ферробораты с большим содержанием Gd:  $\text{Gd}_{0.96}\text{Nd}_{0.04}\text{Fe}_3(\text{BO}_3)_4$  и  $\text{Gd}_{0.75}\text{Nd}_{0.25}\text{Fe}_3(\text{BO}_3)_4$ . Однако в них Gd-мода оказалась уже ненаблюдаемой. Это свидетельствует о важности наличия достаточного количества анизотропных ионов  $\text{Nd}^{3+}$  для ее выявления. При этом по частотам Nd-мод, которые при малой концентрации совпадают с расщеплением основного дублета  $\text{Nd}^{3+}$ , удалось напрямую определить последнее как в легкоплоскостном, так и в одноосном состояниях ( $\omega_R \approx \omega_{R||} = 8.2 \text{ см}^{-1}$ ), используя то обстоятельство, что в этих составах сохраняется спиновая переориентация при  $\sim 6 \text{ К}$ .

**4. Заключение.** Проведенные в работе субмиллиметровые спектроскопические исследования редкоземельных ферроборатов с  $R = \text{Nd}, \text{Sm}, \text{Gd}$  обнаружили резонансные магнитные возбуждения в обменно взаимодействующих антиферромагнитной (Fe-) и парамагнитной (R-) подсистемах и выявили ряд ха-

<sup>2)</sup> Отметим, что для ферромагнетиков имеет место аналогичное уменьшение интенсивности (вклада) обменной моды при близости гиромагнитных отношений для входящих в них маг-

нитных подрешеток [26], что является, по сути, проявлением отмеченной в случае Nd чувствительности вкладов к соотношению g-факторов ионов магнитных подрешеток.

рактерных особенностей их динамики. Установлено наличие сильного взаимодействия спиновых колебаний Fe- и R-ионов, которое формирует спектр связанных возбуждений в зависимости от типа R-иона и анизотропии обменного расщепления его основного состояния (дублета). Эта динамическая связь является причиной заметного отличия расщеплений основного состояния R-иона в статическом обменном поле, которое определяется из оптических данных, от частот обнаруженных возбуждений в R-подсистеме. Однако при уменьшении концентрации R-ионов частоты их возбуждений и соответствующие обменные расщепления сближаются. Показано, что вклады в магнитную проницаемость связанных мод сильно зависят от разности  $g$ -факторов Fe- и R-ионов, что позволяет определить знак последних. Обнаруженная в  $\text{NdFe}_3(\text{BO}_3)_4$  относительно большая интенсивность обменных (Nd) мод объясняется возрастанием их вклада при  $g_{\perp, \parallel}^{\text{Nd}} < 0$ . В то же время в  $\text{GdFe}_3(\text{BO}_3)_4$  с близкими значениями  $g$ -факторов Fe- и Gd-ионов происходит компенсация суммарного динамического магнитного момента и обменной (Gd) моды не наблюдается. Однако в замещенном составе  $\text{Gd}_{0.5}\text{Nd}_{0.5}\text{Fe}_3(\text{BO}_3)_4$  с анизотропными ионами Nd эта компенсация нарушается и Gd-мода проявляется. В  $\text{SmFe}_3(\text{BO}_3)_4$ , где ионы  $\text{Sm}^{3+}$  очень слабо взаимодействуют с внешним магнитным полем, их возбуждение происходит через Fe-подсистему. Детальный теоретический анализ динамических свойств системы позволил объяснить и количественно описать наблюдаемые эффекты и определить параметры основных взаимодействий. Мы не касались магнитоэлектрического вклада в наблюдаемые возбуждения, который оказался мал в исследуемом диапазоне волн, но может проявиться при более низких частотах. Этому предполагается посвятить отдельную работу.

Авторы признательны А.С. Прохорову за обсуждение работы и ценные замечания. Работа выполнена при финансовой поддержке РФФИ (гранты # 10-02-00846 и 09-02-01355) и Министерства образования и науки РФ (грант # 16.518.11.7034).

1. M. Fiebig, J. Phys. D: Appl. Phys. **38**, R123 (2005).
2. Y. Tokura, Science **312**, 1481 (2006).
3. S.-W. Cheong and M. Mostovoy, Nature Mater. **6**, 13 (2007).

4. D. Khomskii, J. Magn. Magn. Mater. **306**, 1 (2006).
5. А. К. Звездин, С. С. Кротов, А. М. Кадомцева и др., Письма в ЖЭТФ **81**, 335 (2005).
6. А. К. Звездин, Г. П. Воробьев, А. М. Кадомцева и др., Письма в ЖЭТФ **83**, 600 (2006).
7. А. Н. Васильев, Е. А. Попова, ФНТ **32**, 968 (2006).
8. А. М. Кадомцева, Ю. Ф. Попов, Г. П. Воробьев и др., ФНТ **36**, 640 (2010).
9. Y. Hinatsu, Y. Doi, K. Ito et al., J. Solid State Chem. **172**, 438 (2003).
10. D. Fausti, A. A. Nugroho, P. H. M. van Loosdrecht et al., Phys. Rev. B **74**, 024403 (2006).
11. M. N. Popova, J. of Rare Earths **27**, 607 (2009).
12. А. И. Панкрац, Г. А. Петраковский, Л. Н. Безматерных, О. А. Баюков, ЖЭТФ **126**, 887 (2004).
13. А. И. Панкрац, Г. А. Петраковский, Л. Н. Безматерных, В. Л. Темеров, ФТТ **50**, 77 (2008).
14. А. М. Кузьменко, А. А. Мухин, В. Ю. Иванов и др., ЖЭТФ **140**, 131 (2011).
15. M. N. Popova, E. P. Chukalina, T. N. Stanislavchuk et al., Phys. Rev. B **75**, 224435 (2007).
16. E. P. Chukalina, M. N. Popova, L. N. Bezmaternykh, and I. A. Gudim, Phys. Lett. A **374**, 1790 (2010).
17. A. D. Balaev, L. N. Bezmaternykh, I. A. Gudim et al., J. Magn. Magn. Mater. **258–259**, 532 (2003).
18. G. V. Kozlov and A. A. Volkov, *Coherent Source Submillimetre Wave Spectroscopy*, in *Millimetre and Submillimetre Wave Spectroscopy of Solids*, Ed. by G. Gruner, Springer, Berlin, 1998.
19. R. Z. Levitin, E. A. Popova, R. M. Chtsherbov et al., Письма в ЖЭТФ **79**, 531 (2004).
20. А. М. Кадомцева, А. К. Звездин, А. П. Пятаков и др., ЖЭТФ **132**, 134 (2007).
21. А. М. Кадомцева, Ю. Ф. Попов, Г. П. Воробьев и др., Письма в ЖЭТФ **87**, 45 (2008).
22. А. К. Звездин, В. М. Матвеев, А. А. Мухин, А. И. Попов, *Редкоземельные ионы в магнитоупорядоченных кристаллах*, М.: Наука, 1985.
23. А. М. Балбашов, Г. В. Козлов, С. П. Лебедев и др., ЖЭТФ **95**, 1092 (1989).
24. Е. А. Попова, Н. Тристан, Х. Хесс и др., ЖЭТФ **132**, 121 (2007).
25. L. F. Chibotaru, A. Ceulemans, and H. Bolvin, Phys. Rev. Lett. **101**, 033003 (2008).
26. B. Lax and K. J. Button, *Microwaves ferrites and ferrimagnetics*, McGraw-Hill (1962); А. Г. Гуревич, *Магнитный резонанс в ферритах и антиферромагнетиках*, М.: Наука, 1973.